#### Литература

- 1. Венцель, С.В. Применение смазочных материалов в двигателях внутреннего сгорания / С.В. Венцель. Москва: Химия, 1979. 240 с.
- 2. Ferreira, T. ImageJ user guide /Fiji 1.46 / T. Ferreira, W. Rasband. 2012. 198 p.
- 3. Schindelin, J. The ImageJ Ecosystem: An Open Platform for Biomedical Image Analysis / J. Schindelin, et al. // Molecular Reproduction & Development. 2015. Vol. 82. P. 518–529.
- 4. Brocher, J. The BioVoxxel Toolbox for ImageJ/Fiji: Extended Particle Analyzer and Shape Descriptor Maps // BioVoxxel Toolbox ImageJ Wiki. URL: https://imagej.net/imagej-wiki-static/BioVoxxel Toolbox (date of access: 06.07.2025).

### УДК 621.11

# ИССЛЕДОВАНИЕ ВИБРОАКУСТИЧЕСКИХ ХАРАКТЕРИСТИК ФОРСУНОК ДИЗЕЛЬНЫХ ДВИГАТЕЛЕЙ

**А.В. Михолап,** студент ФТС, **М.В. Новиков**, студент ФТС, Научный руководитель: В.Е. Тарасенко, канд. техн. наук, доцент *УО «Белорусский государственный аграрный технический университет»*,

г. Минск, Республика Беларусь

В лаборатории технического сервиса топливной аппаратуры и агрегатов гидросистем БГАТУ выполнены исследования виброакустических характеристик форсунок CRIN2 (0445120141) с электромагнитным управлением.

На рисунках 1-4 представлены результаты обработки проекций сигнала акселерометра.

В верхней части каждого из рисунков 1-4 представлена снятая проекция сигнала акселерометра относительно одной из осей *хуz*. В средней части – спектр, построенный для нормализованной частоты сигнала (спектр постоянства сигнала), в нижней части – скейлограмма сигнала.

Спектр постоянства сигнала (средняя часть графиков) является частотно-временным представлением сигнала и указывает на процент времени присутствия частоты в сигнале. Чем дольше частота по времени присутствует в сигнале, тем интенсивнее она отображается на спектре постоянства.

Исследования показали [1, 2], что для форсунки со следами изнашивания наиболее ответственных ее составляющих компонентов

(запорного клапана, иглы распылителя и др.) характерен менее выраженный спектр постоянства колебаний относительно оси у.

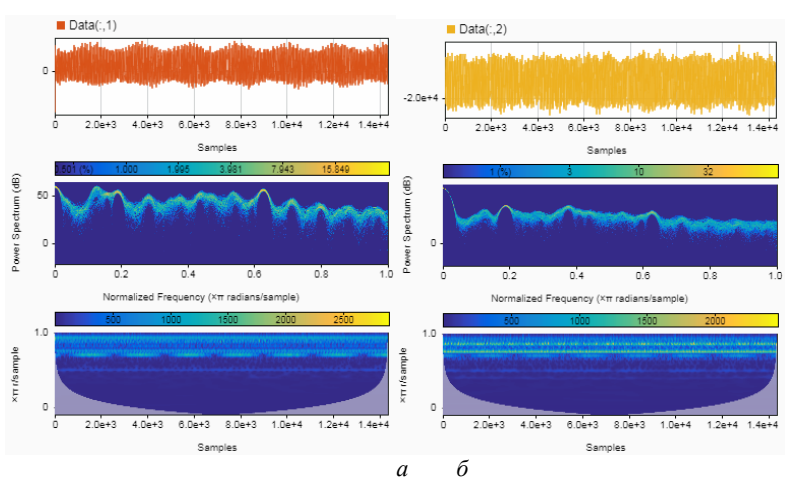


Рисунок 1 — Результаты обработки проекций сигнала акселерометра на ось x (a) и ось y ( $\delta$ ) на всем интервале измерений 0...14339 (верхний график), спектр, построенный для нормализованной частоты сигнала (график посередине) и скейлограмма сигнала (график снизу) для измерения новой форсунки акселерометром f 029.bin

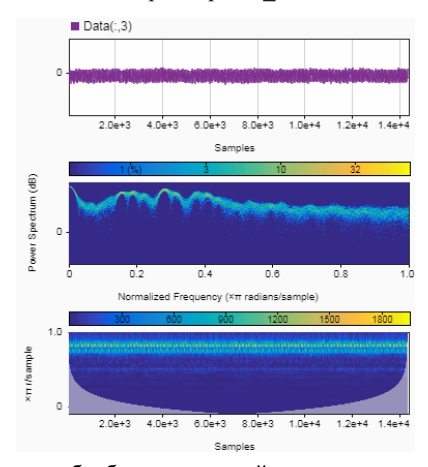


Рисунок 2 — Результаты обработки проекций сигнала акселерометра на ось z на всем интервале измерений 0...14339 (верхний график), спектр, построенный для нормализованной частоты сигнала (график посередине) и скейлограмма сигнала (график снизу) для измерения новой форсунки акселерометром  $f_029$ .bin

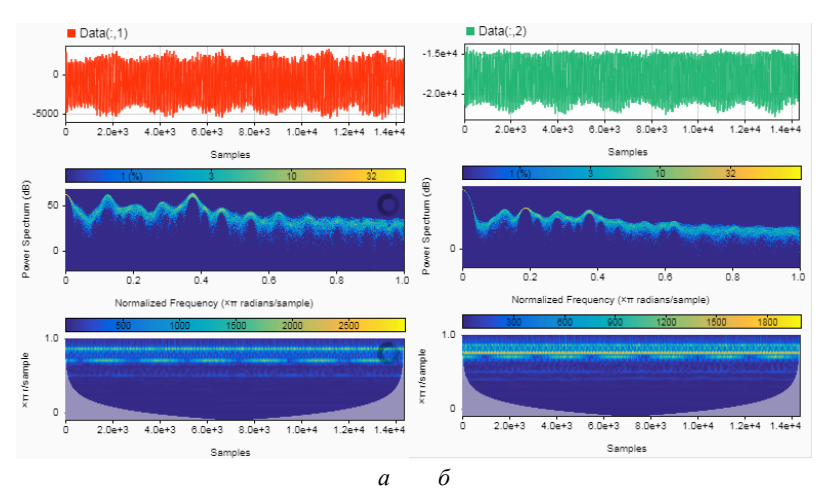


Рисунок 3 — Результаты обработки проекций сигнала акселерометра на ось x (a) и ось y ( $\delta$ ) на всем интервале измерений 0...14339 (верхний график), спектр, построенный для нормализованной частоты сигнала (график посередине) и скейлограмма сигнала (график снизу) для измерения изношенной форсунки акселерометром f 014.bin

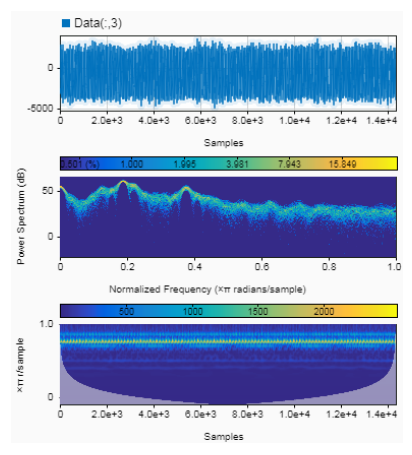


Рисунок 4 — Результаты обработки проекций сигнала акселерометра на ось z на всем интервале измерений 0...14339 (верхний график), спектр, построенный для нормализованной частоты сигнала (график посередине) и скейлограмма игнала (график снизу) для измерения изношенной форсунки акселерометром  $f_014.bin$ 

Скейлограмма – нижняя часть графиков, это абсолютные значения непрерывного вейвлет-преобразования сигнала. Данный вид обработки полезен при изучении сигналов с перемежающимися переходными

процессами, которые могут возникать при износе узлов двигателя. Из рисунков 1—4 видно, что для форсунки со следами изнашивания наиболее ответственных ее составляющих компонентов результаты обработки скейлограммы относительно оси у выражены сильнее, чем для новой.

Для определения частот, наиболее характерных для работы новой форсунки и форсунки со следами изнашивания наиболее ответственных ее составляющих компонентов проводили спектральный анализ полученных при испытаниях сигналов (графические построения в статье не отражены).

Комплекс выполненных в лаборатории исследовательских работ позволил установить фактическое отклонение от эталонного состояния (новая форсунка) элементов рассматриваемой форсунки, а также описать характерные виды изнашивания наиболее ответственных составляющих компонентов форсунки (запорного клапана и иглы распылителя).

#### Литература

- 1. Тарасенко, В.Е. Исследование вибрации форсунок с помощью многоканальной системы с гибкой структурой / В.Е. Тарасенко, А.А. Жешко // Механизация и электрификация сельского хозяйства: межведомственный тематический сборник / РУП «Научно-практический центр НАН Беларуси по механизации сельского хозяйства». Минск, 2020. Вып. 54. С. 185–191.
- 2. Тарасенко, В.Е. Методика формирования теоретико-практической базы результатов анализа динамики спектральных, вейвлетных и статистических образов вибросигналов форсунок / В.Е. Тарасенко, О.Ч. Ролич, А.А. Жешко // Агропанорама. 2025. № 4(170). С. 28–34.

#### УДК 621.11

## ОСОБЕННОСТИ ТЕХНОЛОГИЧЕСКОГО ПОДХОДА ПРИ ИССЛЕДОВАНИИ ВИБРОАКУСТИЧЕСКИХ ХАРАКТЕРИСТИК ФОРСУНОК

**А.В. Михолап,** студент ФТС, **М.В. Новиков**, студент ФТС, Научный руководитель: В.Е. Тарасенко, канд. техн. наук, доцент УО «Белорусский государственный аграрный технический университет»,

г. Минск, Республика Беларусь

Посредством исследования виброакустических характеристик деталей и сборочных единиц (узлов и агрегатов) машин определяют-